

全国同位素地质会议文集

第一集

地 质 出 版 社

全国同位素地质会议文集

第一集

全国同位素地质会议文集编辑小组

地 资 出 版 社

全国同位素地质会议文集
第一集
全国同位素地质会议文集编辑小组

*
地质部书刊编辑室编辑

地质出版社出版

(北京西四)

地质印刷厂印刷

(北京安德路47号)

新华书店北京发行所发行·各地新华书店经售

*

1979年12月北京第一版·1979年12月北京第一次印刷

印数1—3,590册·定价2.50元

统一书号：15038·新448

出版说明

一九七五年十一月二十日至十二月二日在贵阳市召开了全国第一次同位素地质工作经验交流会，对过去十余年的工作做了一次总结。出席这次会议的有全国生产、科研、教学各系统的代表近三百人。会议共收到了研究论文、经验介绍、技术资料、文献调研等一百二十余篇，一定程度上体现了我国同位素地质研究工作的发展情况和取得的成果。为了便于从事同位素地质工作的同志和广大地质工作者参考，并促进我国的同位素地质工作，决定将会议的部分论文汇编为《全国同位素地质会议文集》出版。

同位素地质这门新兴学科，在最近的二十多年里得到了飞速的发展。现在，不论在研究月球、陨石等宇宙空间科学中，还是在地层、大地构造、岩石、矿床、海洋等地球科学的各个领域，同位素地质都已成为解决某些重大问题的不可缺少的研究方法。它在各方面所取得的研究成果，大大丰富了人们对于天体史、地球史、生物史以及人类发展史的认识。

我国的同位素地质研究工作，解放前是空白，建国以后获得迅速发展，建立了一批同位素地质实验室，新建了一批铷-锶法、碳-14同位素年龄实验室，开展了裂变径迹法、铀-钍系法年龄测定的研究。工作开展较早的钾-氩法、铀-铅法等采用了同位素稀释法、中子活化法等先进技术。原来比较薄弱的稳定同位素地质研究，最近几年也有了发展，出现了一批稳定同位素地质实验室，并开展了铅、硫、氧、碳、氢等方面的研究工作。直到会议时为止，据不完全统计，我国已积累了同位素地质年龄数据近五千个，铅、硫、碳等稳定同位素数据三千多个。这些同位素地质资料，为解决一些生产实际问题和理论问题提供了重要依据。诸如在青藏高原和西沙群岛等地的科学考察中，长沙马王堆一号汉墓等重要文物的研究工作中，同位素地质方面的研究也取得了一定的成果。特别是同位素地质这门学科已日益引起地质工作者的重视。

《全国同位素地质会议文集》共分三集出版。第一集为同位素地质年代学实验方法部分；第二集为同位素地质年代学地质应用部分；第三集为稳定同位素地质部分。

受与会代表的委托，本文集由中国科学院地质所、贵阳地化所、冶金部桂林冶金地质所、中国地质科学院地矿所、湖北地质所、北京第三研究所和成都地质学院共同组成的编辑小组进行编纂。编纂过程中出现的错误，希原作者和读者批评指正。

全国同位素地质会议文集编辑小组

一九七七年

目 录

- 氩同位素稀释质谱法测定钾-氩年龄 中国科学院贵阳地球化学研究所 戴樟模、洪阿实、张梅英、卢承祖 (1)
- 几个新生代样品钾-氩放射性地质年代测定 中国科学院贵阳地球化学研究所同位素地质研究室 (9)
- 海绿石在钾-氩法年龄测定中的适用性问题 中国科学院贵阳地球化学研究所同位素地质研究室氩组 (17)
- 几个应力矿物——绿泥石的钾-氩法年龄数据讨论 孙家树 (27)
- 用气相色谱技术分析微量氩 成都地质学院同位素地质研究室 (32)
- 同位素地质取样和提纯黑云母联合分离法 中南冶金地质勘探公司研究所 (37)
- 用 ZhT-1301 型质谱计进行微量氩的同位素分析 中国科学院贵阳地球化学研究所氩质谱同位素分析实验室 (40)
- 降低 ZhT-1301 型质谱计测氩本底的简易方法 长春地质学院同位素地质实验室 (48)
- 关于 ZhH-1301 型质谱计测氩的改装报告 国家地质总局宜昌地质矿产研究所 白云彬 (50)
- 铷-锶法测定岩石矿物的同位素地质年龄 桂林冶金地质研究所、国家地质总局宜昌地质矿产研究所同位素地质研究室 (56)
- 铷-锶放射性地质年代测定法 中国科学院地质研究所八室二组 (67)
- 离子交换分离铷、锶的玫瑰红酸钠检验法 中国地质科学院地质矿产所 夏明仙 (76)
- 磷酸溶矿在锶同位素分析中的应用 桂林冶金地质研究所同位素地质研究室 (80)
- 国家地质总局宜昌地质矿产研究所同位素地质研究室
- 磷酸在铷-锶分析中的应用及其提纯方法 中国科学院贵阳地球化学研究所 施泽恩 (84)
- 结晶磷酸锆在超纯铷、锶分离中的应用 中国科学院贵阳地球化学研究所 施泽恩、周新华 (87)
- 同位素稀释法测定放射成因锶的误差讨论 中国地质科学院地质矿产所 罗修泉 (95)
- 用同位素稀释法测定放射成因锶及其误差讨论 北京第三研究所四室 (106)
- 用离子交换法测定岩矿中的铀和钍 中国科学院贵阳地球化学研究所同位素地质研究室一组 (114)
- 应用天然富集铅同位素稀释法测定微量铅 北京第三研究所四室 (125)
- 从天然矿物中提取铅同位素稀释剂 中国科学院贵阳地球化学研究所 刘菊英、陈毓蔚 (131)

单、双铅同位素稀释法中若干问题的讨论

.....中国科学院贵阳地球化学研究所 毛存孝、曾天育、陈毓蔚 (140)

鄂西神农架地区前震旦系铀-铅全岩年龄测定

.....国家地质总局宜昌地质矿产研究所 黄斌 (151)

全岩体系铀-铅多阶段演化初步讨论.....朱炳泉、周新华 (162)

关于影响铀-铅法同位素地质年龄因素的讨论

.....中国科学院贵阳地球化学研究所同位素地质研究室一组 (166)

液体闪烁法碳-14年代测定.....北京大学历史系考古专业碳-14实验室 (175)

关于骨头、泥炭等碳-14标本的制备方法.....中国社会科学院考古研究所实验室 (179)

渤海湾西岸全新世岸线变迁的初步研究.....中国科学院地质研究所碳-14实验室 (184)

辽宁南部全新世地质年代学初步研究

.....中国科学院贵阳地球化学研究所碳-14实验室及第四纪孢粉组 (193)

氩同位素稀释质谱法测定钾-氩年龄

中国科学院贵阳地球化学研究所

戴樟模 洪阿实 张梅英 卢承祖

随着地质年代学被广泛地应用，人们对地质体年龄数据的研究和分析，在数量上要求越来越多，质量上要求越来越精确。钾-氩(K-Ar)同位素地质年龄，在四十年代，测定一个数据的矿物样品用量一般为数百克，现在已经降至数克、数百毫克乃至数十毫克；测定的年代范围也由太古代、元古代扩大到中生代、新生代；精度上也有相当大的提高。所有这些，都与测定方法和仪器本身的改进有关。特别是氩同位素稀释质谱测定法（简称稀释法）取代了氩体积测量质谱扣除的方法（简称体积法）后，使K-Ar法在分析速度和准确度方面提高了一大步。

1968年，我们与兄弟单位协作，采用Ar³⁸同位素稀释法，测定了珠穆朗玛峰地区同位素地质年龄。样品用量为10克，加入的稀释剂在25—45PV(mm Hg·mm³)^①。1973年，我们建立了超高真空氩稀释提取装置，采取高频电炉熔样，进行了某些样品的年龄测定。其中包括安龙球粒陨石年龄的研究。但是，这两种氩提取测定装置都是与质谱计分开的，最后待测的放射成因氩量是以小碳管吸收封存的形式，送待质谱计进行同位素比值测定。

为了满足地质年代范围广、待测样品数量大的要求，迫切需要建立一个符合多快好省的技术方法和分析程序。我们在过去工作的基础上，试图摆脱超高真空系统和高频电炉熔样的氩提取装置，采用一般的高真空系统和进一步改进的内加热装置，配合改装的ZhT-1301型国产质谱计与Ar提取纯化系统组成联合装置，并进一步降低稀释剂和样品用量，采用Ar³⁸同位素稀释质谱测定法，在十二至十六小时内，连续进行6个样品的年龄测定的方法试验。

一、稀释法原理

质谱计是灵敏度极高的最适用于测定同位素比值的仪器。要对质谱计上讯号放大后的记录刻度给予绝对定标，实际上是不适宜的，因为刻度要表示为数量，必须依赖于放大器定标、离子源调整及送样管道体积等许多参数，而这些参数条件，在每次分析中很难准确地重现。因此，要实现质谱计既做为同位素比值测定，同时又做为同位素的绝对量测定，就需要在样品中加入定量的已知同位素组成的富集同位素稀释剂作为内标，然后用质谱计测定同位素比值，通过计算得出所测同位素绝对量。这个方法简称为同位素稀释法。

K-Ar同位素地质年龄测定方法，早在五十年代就使用Ar³⁸或Ar³⁶为稀释剂，至今仍在不断完善提高。我们采用Ar³⁸做为稀释剂。

① 1 PV (mmHg·mm³) = 1.316 × 10⁻⁶cm³·STP。

通过数学运算，得出放射成因氩含量的计算公式可写为

$$Ar^{40*} = C \left\{ \left(\frac{40}{38} \right)_M - \left(\frac{40}{38} \right)_T - \frac{\left(\frac{38}{40} \right)_A \cdot \left(\frac{40}{38} \right)_M - 1}{\left(\frac{36}{38} \right)_M \cdot \left(\frac{38}{36} \right)_A - 1} \cdot \left(\frac{40}{36} \right)_A \left[\left(\frac{36}{38} \right)_M - \left(\frac{36}{38} \right)_T \right] \right\} \quad (1)$$

式中 Ar^{40*} ——样品中放射成因氩含量；

C——加入稀释剂中 Ar^{38} 的含量；

$\left(\frac{38}{40} \right)_A \left(\frac{38}{36} \right)_A \left(\frac{40}{36} \right)_A$ ——大气氩同位素比值，本实验中取 $\left(\frac{40}{36} \right)_A = 300$ ；

$\left(\frac{40}{38} \right)_T \left(\frac{36}{38} \right)_T$ ——稀释剂氩同位素比值；

$\left(\frac{40}{38} \right)_M \left(\frac{36}{38} \right)_M$ ——样品中混入稀释剂后氩同位素比值

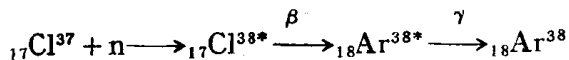
由于大气中 Ar^{38} 含量很低，可以略去，则 (1) 式可简化为

$$Ar^{40*} = C \left\{ \left(\frac{40}{38} \right)_M - \left(\frac{40}{38} \right)_T - 300 \left[\left(\frac{36}{38} \right)_M - \left(\frac{36}{38} \right)_T \right] \right\} \quad (2)$$

从公式看出，质谱计对放射成因 Ar^{40} 的定量测定，是通过测定稀释剂中和混合样品中 Ar^{36} 、 Ar^{38} 、 Ar^{40} 的相对强度而计算出来的。

二、稀 释 剂

制备 Ar^{38} 可以通过人工制备获得



用含 Cl 的化合物（如 $NaCl$ 、 KCl 、 $AlCl_3$ ）来制备比用氯气方便。 $AlCl_3$ 中 Cl 的百分含量最高， KCl 中 Cl 的百分含量最低。在相同的照射条件下， $AlCl_3$ 的产额最高， KCl 最低。但是，“无水” $AlCl_3$ 往往含有微量水分，在照射过程中，由于内压过大，会引起石英安瓿炸裂。所以，在使用制备上，都选用 $NaCl$ 。

采用高纯的石英管吹制装样照射的石英安瓿。石英安瓿中装进 1 克左右光谱纯无水固态粉末 $NaCl$ ，然后通过石英-玻璃过渡接头，与真空系统焊接，抽至高真空，用氢氧火焰封口，放入可贮四个小石英安瓿的照射铝盒中，供反应堆照射制备。

提取 从反应堆中取出已冷却的石英安瓿，装入提取系统的石英管中。石英安瓿下端垫有钢片，钢片下端垫有石英碎粒。安瓿小尖钩上端压有铁棒。装样石英管通过石英-玻璃接头过渡焊接在提取-分样系统上。在全系统获得高真空之后 (10^{-6} — 10^{-7} 托)，借助交流电磁铁线圈，吸上铁棒敲碎小尖钩，然后套上加热炉，升温至 $800^{\circ}C$ ，使 Ar^{38} 析出完全。使用 CuO ($550^{\circ}C$) 炉和 Ti 泵 ($1100^{\circ}C$ —室温) 反复纯化，获得用麦氏计反复测量的稳定 Ar^{38} 量，供扩散分样。

分样 几个至十多个 PV 的 Ar^{38} 稀释剂量在十多毫升的分样小安瓿中所造成的压强是 10^{-3} — 10^{-4} mmHg 量级。所以， Ar^{38} 在分样系统中按照分子-粘滞流状态扩散，分样工作不

要求在超高真空系统中进行。把三十六个小安瓿焊成三排，通过高真空活塞与提取系统联接。分样系统借助扩散泵抽气，动态真空获得 $\sim 2 \times 10^{-7}$ 托之后，旋开贮有纯化后的Ar³⁸的活性炭管活塞，使Ar³⁸在分样小安瓿——麦氏真空计区段扩散平衡3—4小时。以麦氏计检测扩散平衡前，应先切断与小安瓿联通的活塞，防止测量中由于水银的升降搅动小安瓿中Ar³⁸的压强。测量后待水银下降，过数分钟再打开联通活塞。3—4小时后，关闭上述联通活塞，用灯火逐个取下小安瓿。

值得指出的是，在封取大量的（36个）安瓿时，由于灯火对系统的局部烘烤，温度效应将引起Ar³⁸扩散紊乱，这会严重影响Ar³⁸的定量误差，必须严加注意。为此，安瓿管体积不应过小，焊封小颈不应过短。在封取时，可间隔开位置轮换封取，防止局部温度上升。这些现象在少量的单排列管道中分样，影响甚微。

小安瓿直径 ~ 12 mm，长120—150mm，颈长 ~ 60 mm，内径1.5—2.0mm，尾部带有小尖钩，供做样时击破。

三、仪器装置和实验流程

仪器装置 氩析出系统由加热反应器、CuO炉、海绵钛、Ti泵等部件组成，用高真空玻璃活塞焊接（图1）。六个样品用铝箔包装排在反应器的支管中，借助磁铁投样。相应的六个稀释剂，与反应器挨接，同样借助磁铁碎封。系统后部，与ZhT-1301型质谱计联接处，采用小活性炭管和小冷阱过渡，在液氮温度下清除油脂蒸汽，转移输送氩气，为质谱计提供样品。质谱分析时，关闭活塞15，使送样系统缩短。图2是加热反应器，外壳是一

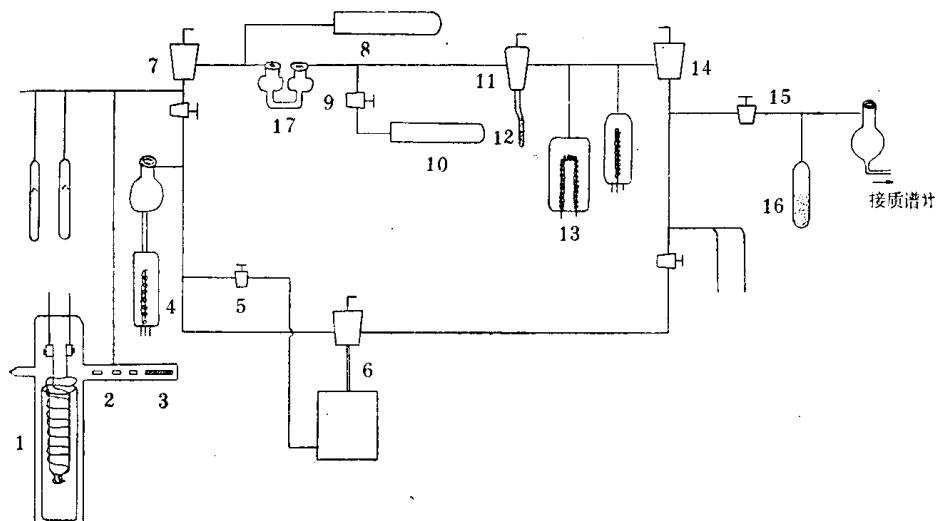


图1 氩析出-纯化系统示意图

1—加热反应器；2—样品；3—铁棒；4—真空规；5—活塞；6—抽真空泵；7—活塞；8—氧化铜管；9—活塞；10—海绵钛；11—活塞；12—活性炭管；13—钛泵；14—活塞；15—活塞；16—活性炭管；17—双冷阱

般的硬质玻璃（95号玻璃），载样加热石英管插入钨丝加热圈的内部。加热圈由 $\phi 0.8$ mm长5.2米的钨丝绕制而成。载样加热石英管的喇叭口，借助加热钨丝两端与电极柱联接固定时，调节位置，使其紧靠支管放样口，便于准确投样。加热钨丝外部隔有一个保温石英

屏，对反应器玻璃外壳起隔热作用。在加热熔样时，用两个电风扇风冷反应器玻璃外壳。

操作流程 系统中 CuO (550 °C)、海绵钛 (1000 °C)、反应器钨丝 (~1600 °C) 加热

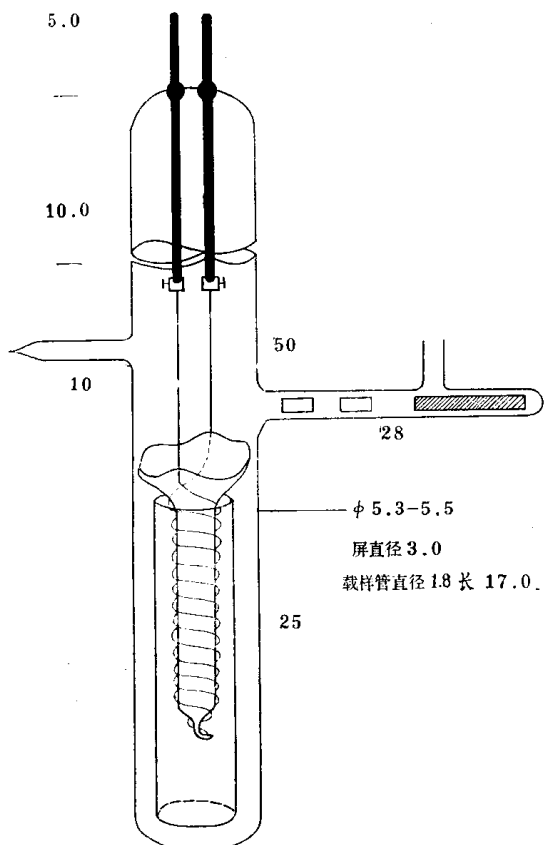


图 2 反应器示意图

除气，降温。借助电离真空规管测定真空气度，达到 $2-5 \times 10^{-6}$ 托（有时达到 3×10^{-7} 托），关闭活塞 7。投样，敲破一个稀释剂，这时 CuO、海绵钛分别保持温度在 550 °C 和 800 °C。风冷反应器，钨丝逐渐加热（熔样最高电压 80—90 伏，最大电流 20—25 安培），冷阱不断加入液氮。熔样后，反应器与 CuO、海绵钛降温。借助活性炭（已去气），在液氮温度下吸收 20 分钟。随后，气体转入 Ti 丝蒸发器（Ti 泵），进行纯化（1100 °C—室温），旋开活塞 14 和 15，用活性炭 16 在液氮温度下吸收 10 分钟，关闭活塞 14 和 15，解吸后送质谱测定。

当第一个样品受活性炭吸收转移之后，CuO、海绵钛、反应器即可加热去气（消除残留样品中的记忆效应），为第二个样品准备做样条件。海绵钛去气温度在 1000 °C 时将有大量排气，供系统清洗，清除系统中的记忆效应（我们连续进行了三个“天-09”样品测定，数据表明不存在记忆效应）。

做完六个样品之后，需要更换石英坩埚和加热钨丝。由于本反应器不采用油脂磨口，所以需要在反应器上部炸断，更换后重新焊接。

四、质谱同位素比值测定

为适应用稀释法测定 K-Ar 同位素年龄的要求，我们改装了国产 ZhT-1301 型质谱计，建立了质谱静态分析法。借助 TB-1 型钛蒸发离子泵使质谱计的真空气度提高一个数量级以上，达到 $10^{-8}-10^{-9}$ 托真空气度。钛蒸发泵对活性气体有很大的抽速，可以进一步清除本底的干扰，而离子泵对惰性气体氩有很大的抽速。在静态分析条件下，钛泵壳壁上的钛膜对活性气体仍有化学抽气作用，而另一方面对惰性气体几乎不起作用。离子源的大阀门关闭使样品不被抽掉，这样就大大提高了微量的氩样品在质谱计中的分压强。通常的分析条件是：静态分析前的动态压强 $\sim 2-3 \times 10^{-8}$ 托以上的真空；静态本底压强约 $2-3 \times 10^{-7}$ 托左右；静态进样压强一般控制在 2×10^{-6} 托（不大于 1×10^{-5} 托）；离子加速电压用 4 kV；电离电压 50 V 左右；静电级的输入高阻为 4.7×10^{11} 欧，通常放在 10—30 V 挡（放大器 II）测量。改装后，质谱计的静态体积约为 2.5 升 (2500cc)，灵敏度约为 $1-5 \times 10^{-5}$ A/T (未加电子倍增器)。对 $1 \times 10^{-5} \text{ cm}^3 \cdot \text{STP}$ 的样品量，可以在质谱计内造成 $\sim 4 \times 10^{-8}$ 托的静态压强，即可以得到 2×10^{-10} 安的离子流。对 Ar³⁶ 也可获得 $\sim 10^{-12}-10^{-13}$ 安的离子流。对

静态本底质谱及静态进样后记录质谱一般都记录4—6组，进样时有2—3分钟的平衡时间，所以每个样品质谱分析时间约15—20分钟，包括每做完一个样品的加热去气消除记忆的时间。在正常情况下，每个工作日可以完成6—8个样品的质谱同位素分析。质谱计当天启动，当天可以投入分析。在选择谱峰取值计算时，为了避免由于时间的差异所引起的系统偏差，我们把M/e=40,38,36的相应峰顶相连，在选取的某个时间轴一起取值计算（扣除相应的本底）。有时也可以选取几个时间坐标，分别计算几组值，再计算平均值。

五、结果讨论

（一）方法的条件试验

（1）系统本底 反应器加热下系统全流程空白试验，本底一般为几个PV。我们根据43个样品测定，分别计算每次实验中所混入的大气氩量（包括样品本身所吸附的大气氩量），绘成统计图（图3），以便对玻璃风冷反应器和全系统的真空保持性能给予定性判断。统计数据和实验记录表明，混入较多的大气氩量（35—45PV），一般总是在称量样多而真空度要求不甚严格的情况下发生（一般 $\sim 10^{-5}$ 托）；混入量最少（1—3PV）者，总是称量少，实验操作中真空度要求甚高的样品。一般动态达到 2×10^{-7} 托才进行实验。反应器电极裂漏的偶然事故中，大气氩可达到1000PV。系统本底表明，采用风冷玻璃反应器和玻璃活塞的真空系统，可以满足放射成因氩在几个PV或十几个PV以上的样品量要求。因此，对地质时代自前寒武纪到喜马拉雅期的常用测定矿物，其样品称量在几十毫克至1克内即可满足测定要求。降低样品量，可减轻选矿的负担，为系统连续操作6个样品提供了方便和可能。

（2）稀释剂 各玻璃安瓿中Ar³⁸同位素成份比值测定和准确定量，是同位素稀释法误差大小的主要关键。

表1列出了75-38-IV的四个稀释剂同位素成份比值的质谱测定值。

本批稀释剂Ar³⁸含量为(92.69±0.71)%。所有36个稀释剂均采用这些统一比值。本报告中所使用的75-38-

I, 75-38-II, 75-38-III稀释剂成份比值测定，只根据焊取下来的头二个进行测定，取平均值。在封取中，后期可能混入的大气，视为做样流程中系统混入的大气氩看待。

Ar³⁸稀释剂含量是采用已知量的大气氩作为稀释剂，对某安瓿（已知体积）的Ar³⁸进行稀释法标定。然后根据各个安瓿的体积比，换算各自含量。本系统中采用麦氏计既作为分样时Ar³⁸扩散检测，同时借用最后检测的平衡压强读数计算各安瓿中稀释剂含量。表2列出了四批稀释剂标定量值对比。

由于分样系统和分取大气氩系统采用两个不同的麦氏计，他们之间的相对误差未进行标定，所以很难讨论相对偏差真值。但麦氏计测量计算值可供大气氩标定方法的数据对照

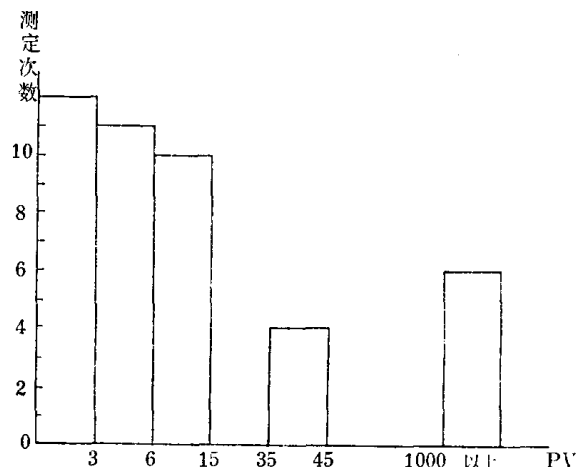


图3 混入大气氩统计图

表 1 稀释剂同位素比值

编 号	$\text{Ar}^{40}/\text{Ar}^{38}$	$\text{Ar}^{36}/\text{Ar}^{38}$	$\text{Ar}^{40}\%$	$\text{Ar}^{38}\%$	$\text{Ar}^{36}\%$
391	0.0939	0.00303	8.56	91.16	0.276
392	0.0583	0.00365	5.49	94.16	0.343
370	0.0782	0.00285	7.24	92.50	0.263
385	0.0726	0.00306	6.74	92.95	0.285
算术平均误差	0.0758 ± 0.0103	(0.00315 ± 0.00025)	(7.01 ± 0.87)	(92.69 ± 0.71)	(0.292 ± 0.026)

表 2 Ar^{38} 稀释剂标定值比较

管号	批 号	$\text{Ar}^{38}\%$	麦氏计检测压强 (毫)	安瓿体积 (ml)	用于标定的大气氩含量 (PV)	麦氏计测量 计算 Ar^{38} 量 (PV)	大气氩标定的 Ar^{38} 量 (PV)	相对偏差
299	75-38-I	99.09	1.10×10^{-3}	15.19	308.8	16.55	16.60	0.30%
343	75-38-II	94.35	—	20.83	492.5	—	4.48	—
362	75-38-III	97.40	0.96×10^{-3}	23.40	416.9	22.58	24.54	7.86%
368	75-38-IV	92.65	0.33×10^{-3}	19.96	363.3	6.61	6.79	2.66%

参考。在计算中，均采用大气氩标定值，因为它排除了由于稀释剂净化不纯、扩散期间真空保持性能的影响，或稀释剂中存有其他惰性气体所引起的计算误差。75-38-II 稀释剂就是采取直接扩散后焊取，不用麦氏计测量，其标定值通过标准样品的测定计算，数据准确性良好（表3）。

采用本扩散法分样的可靠性，从海绿石 Ar 的析出曲线也得到证明。使用八个稀释剂对海绿石 Ar 进行定温测量，利用其放射成因氩的总和计算年龄，与体积法测定的年龄相当一致。

（二）样品测定

表 3 列出六个样品 12 个数据供讨论比较。

“天-09”白云母取自天皮山的伟晶岩体，做为本实验室内部标准样品，七次稀释法的平均年龄为 $(1808 \pm 34) \times 10^6$ 年。这个数值和实验室按几十次体积法所统计的年龄 $(1791 \pm 47) \times 10^6$ 年相一致。其中序号 5 所得年龄偏高，主要是实验过程中系统偶然微漏，混进 1256PV 大气氩，降低了准确度，使得年龄数据偏大。序号 8 和 9 两个海绿石样品均用体积法和稀释法测定对照。ZT-40B 海绿石样品，以体积法测定，样品称量为 1.45 克，所得年龄为 1643×10^6 年，以稀释法测定，称量 0.089 克，所得年龄为 1677×10^6 年，两者数据在误差范围内一致。ZT-113 海绿石样品，在体积法实验过程中混入的大气氩占 42.4%，测得年龄为 490×10^6 年；稀释法混入大气氩 5%，年龄为 550×10^6 年。序号 10，即鼓山 9，采自福建魁歧晶洞花岗岩。魁歧岩体侵入于燕山晚期的鼓山花岗岩体中，用全岩（称量 1.1067 克）测定年龄为 72.1×10^6 年，是白垩纪晚期的侵入体。序号 11、12 为青藏打拉岩体的白云母样品，进行了两次平行实验，年龄值相当吻合一致。

（三）实验误差

造成本方法误差的主要因素有稀释剂的定量准确度和质谱同位素比值测定的误差。

表 3 年 龄 测 定 结 果

序号	编 号	矿 物	重 量 (克)	稀 释 剂		放 射 成 因 Ar 总量 (PV)	(40/38)W	(36/38)W	K %	Ar ⁴⁰ /K ⁴⁰	稀 释 法 年 龄 ×10 ⁶ 年	体 积 法 年 龄 ×10 ⁶ 年
				批 号	含 量 (PV)							
1	75-MA-2 天-09	白 云 母	0.1090	I 309	18.55	82.89	7.056	0.00927	8.21	0.1789	1819	
2	75-MA-3 天-09	白 云 母	0.1036	I 306	15.55	76.39	7.174	0.00818	8.21	0.1735	1784	
3	75-MA-4 天-09	白 云 母	0.1065	I 304	22.02	78.14	5.456	0.00700	8.21	0.1725	1777	
4	75-MA-11 天-09	白 云 母	0.1000	I 327	16.25	73.20	4.690	0.00126	8.21	0.1721	1775	
5	75-MA-24 天-09	白 云 母	0.2128	III 358	22.98	170.6	62.12	0.185	8.21	0.1881	1881	
6	75-MA-28 天-09	白 云 母	0.1210	II 341	4.74	94.13	20.55	0.00543	8.21	0.1768	1806	
7	75-MA-40 天-09	白 云 母	0.1030	IV 376	5.70	77.87	14.20	0.00466	8.21	0.1777	1812	
	标准偏差											1808 ± 34
8	75-MA-56 ZT-113	海 绿 石	0.3713	IV 400	6.07	47.82	8.364	0.00452	6.66	0.0333	550	490
9	75-MA-57 ZT-40B	海 绿 石	0.089	IV 377	6.055	55.95	9.457	0.00362	7.68	0.1579	1677	1643
10	75-MA-46 鼓山9	全 岩	1.1067	IV 386	5.56	10.48	2.67	0.00552	4.26	0.00429	72.1	
11	75-MA-13 74-256	白 云 母	1.123	I 326	16.46	8.22	1.367	0.00337	8.54	0.00181	30.7	
12	75-MA-14 74-256	白 云 母	0.926	I 329	16.42	6.92	0.887	0.00208	8.54	0.00182	30.9	

$$\lambda_K = 0.585 \times 10^{-10} / \text{年}$$

放射成因 Ar^{40*}的误差公式为

$$E = \frac{\Delta Ar^{40*}}{Ar^{40*}} = \frac{\Delta C}{C} + \frac{\Delta \phi}{\phi}$$

式中

$$\phi = \left\{ \left(\frac{40}{38} \right)_M - \left(\frac{40}{38} \right)_T - 300 \left[\left(\frac{36}{38} \right)_M - \left(\frac{36}{38} \right)_T \right] \right\}$$

即

$$E = \frac{\Delta C}{C} + \frac{\Delta}{\phi} \left[\left| \frac{\partial \phi}{\partial K_1} \right| + \left| \frac{\partial \phi}{\partial K_2} \right| + \left| \frac{\partial \phi}{\partial K_3} \right| + \left| \frac{\partial \phi}{\partial K_4} \right| \right]$$

$$K_1 = \left(\frac{40}{38} \right)_M; \quad K_2 = \left(\frac{40}{38} \right)_T; \quad K_3 = \left(\frac{36}{38} \right)_M; \quad K_4 = \left(\frac{36}{38} \right)_T$$

稀释剂含量采用大气氩标定。标定的大气氩用量是否受稀释度 (Ar³⁸:Ar⁴⁰) 制约，以及最佳稀释度范围，均有待进一步研究。根据可以计算的误差， $\frac{\Delta C}{C} = 2-3\%$ 。

质谱同位素比值测定的误差主要取决于质谱系统本底和仪器的稳定性。在一般情况下，质谱分析误差小于1%。 $[40]_T$ 和 $[36]_T$ 由于离子流强度和本底强度相近，所以误差较大。因此，本方法的实验误差给以 $\pm 5\%$ 。

六、结束语

为了建立一个用于常规测定的 Ar³⁸同位素稀释法，来代替应用常规的体积法，以进行大量的样品测定，我们做了一些工作，归纳起来有：

(1) 使用支管扩散法直接分取 5—20PV 的 Ar³⁸稀释剂，可以不采用具有毒性的水银预先进行封存。在大量分样时，应注意设计和封取时的一些问题。

(2) 发挥现有 ZhT-1301 质谱计的作用，使其与设计的氩提取-纯化系统相匹配，采用静态分析法，实现了几个、十几个 PV 以上的放射成因 Ar 的定量测定；在十二至十六小时内，可连续进行六个样品的年龄测定。误差在 $\pm 5\%$ 以内。

(3) 使用玻璃吹制加热反应器是成功的。钨电极与玻璃焊接是关键。但在更换加热钨丝和载样石英管时，需要玻璃工焊接，工作量大些。我们采取二个反应器更换使用，但其反应器结构可供超高真空系统使用。

(4) 虽然对稀释剂的标定，我们采用了大气氩标定、麦氏计检测和标准样品测定相结合对照的办法，但是对大气氩标定的次数做得太少（其中包括同位素比值测定），这一工作有待加强。

(5) 加入 Ar³⁸稀释剂量和样品中放射成因氩量之间的比例，即稀释度对测量准确度的影响研究尚未开展，有待努力弥补。

工作中所有钾的测定，均由王俊文、董丽敏同志完成。初期，参加 Ar³⁸分样试验的还有陈文寄、王慧芬、胡霭琴、朱炳泉、蒲志平等同志。

几个新生代样品钾-氩放射性地质年代测定

中国科学院贵阳地球化学研究所

同位素地质研究室

近十年来的实践证明，放射性地质年代测定方法中，钾-氩法是测定新生代地质年代最有效的方法。测定新生代样品的年龄，关键在于微量氩的测定。真空技术和质谱技术的发展，提供了这一可能性。

年龄在 10^5 — 10^6 年，含钾量为百分之几的样品，氩含量的数量级只有 10^{-7} — 10^{-8} 毫升/克（标准态）。为解决这种微量氩的测定，我们建立了同位素稀释静态质谱分析方法，设计了一套氩析出器、稀释剂分样的质谱计的联用装置。工作中使用了高灵敏度质谱计，在充分烘烤去气条件下，采用静态分析技术。实验结果表明，对玻璃陨石及第四纪火山岩样品，得到了比较满意的结果。

一、方法原理

钾-氩法计算年龄的一般公式为

$$t = \frac{1}{\lambda} \ln \left\{ 1 + \frac{1+R}{R} \cdot \frac{\text{Ar}^{40}}{\text{K}^{40}} \right\} \quad (1)$$

对晚新生代地质样品，则可按下述公式计算

$$t = \frac{1}{\lambda} \cdot \frac{1+R}{R} \cdot \frac{\text{Ar}^{40}}{\text{K}^{40}} \quad (2)$$

其中

$$\lambda_\beta = 4.72 \times 10^{-10} \text{ 年}^{-1}$$

$$\lambda_K = 0.585 \times 10^{-10} \text{ 年}^{-1}$$

$$R = \frac{\lambda_K}{\lambda_\beta}$$

$$\frac{\text{K}^{40}}{\text{K}} = 1.22 \times 10^{-4} \text{ 克/克 (重量比)}$$

$$\lambda = \lambda_K + \lambda_\beta$$

把上值代入(2)式，得到计算年龄的公式为

$$t = 2.51 \times 10^{11} \times \frac{\text{Ar}_F^{40}}{\text{K}\% \times q} \quad (3)$$

其中 K% 为样品中钾百分含量；

t 为样品年龄值（年）；

Ar_F^{40} ——放射成因 Ar^{40} ，单位为毫升（标准态）；

q——样品称重（克）

样品中钾含量用火焰分光光度计法测定，误差 $\leq 1\%$ ，放射成因 Ar_F^{40} 用同位素稀释质谱法测定。计算公式如下

$$\text{Ar}_F^{40} = \text{Ar}_X^{38} \cdot \left\{ H_{38}^{40} - X_{38}^{40} - \frac{D_{38}^{40} - H_{38}^{40}}{D_{38}^{36} - H_{38}^{36}} (H_{38}^{36} - X_{38}^{36}) \right\} \quad (4)$$

其中

Ar_F^{40} 为放射成因氩量，单位为毫升（标准态）；

Ar_X^{38} 为稀释剂 Ar^{38} 量，单位为毫升（标准态）；

H_{38}^{40} , H_{38}^{36} 分别为样品与稀释剂混合物中氩[40]/[38]比值和氩[36]/[38]比值；

D_{38}^{40} , D_{38}^{36} 分别为大气氩[40]/[38]比值和[36]/[38]比值。

当同位素[38]含量占99%以上的氩作为稀释剂，稀释剂的量小于待测样品的氩量，即 $H_{38}^{40} > 1$ 的条件下，计算 Ar_F^{40} 测定误差公式如下

$$\sigma_{F^{40}} = \pm \left[\sigma_{X^{38}}^2 + \frac{1}{(1-\Phi)^2} \sigma_{H_{38}^{40}}^2 + \frac{\Phi^2}{(1-\Phi)^2} \sigma_{H_{38}^{36}}^2 \right]^{1/2} \quad (5)$$

其中

$\sigma_{F^{40}}$, $\sigma_{X^{38}}$, $\sigma_{H_{38}^{40}}$ 和 $\sigma_{H_{38}^{36}}$ 分别表示放射成因 Ar_F^{40} 、稀释剂 Ar_X^{38} 、同位素比值 H_{38}^{40} 和 H_{38}^{36} 测量的相对均方误差； Φ 为大气氩对 Ar_F^{40} 的沾污百分数。

二、实验装置

测定系统（图1）分以下几部分：

（1）质谱计

质谱计为 CMS80 型摆线质谱计，分辨本领 80，对氩的分压强灵敏度为 2×10^{-4} 安/毫安，整个质谱分析室及其真空管道可套在烧箱内加热 400°C 到 450°C 去气。极限真空达 1×10^{-3} 毫巴。

（2）稀释剂和标定系统

稀释剂分样系统由 Ar_X^{38} 储气玻璃球体及带有水银阀的气量管组成。气量管体积为 4.251 毫升，十七小时内真空保持 2×10^{-5} 毫巴。

标定系统由光谱纯大气氩储气瓶、麦氏真空压力计及带有水银阀的气量管组成，气量管的体积用水银准确地标定为 4.137 毫升。

水银阀气量管装置见图 2。

（3）熔样系统

熔样采用外加热方法。加热炉用三根硅炭棒串联，电阻约为 20 欧姆，供电电压用 15 千瓦调压器控制，炉体为直径 16 厘米，长 22 厘米的圆柱体，炉膛直径 2.7 厘米，可以在轨道上前后移动。

熔样采用双石英管加热方法。样品装在内石英管中，为避免样品漏出或加热时喷出，

在开口处加一鉗片做成的小帽。采用双石英管加热的优点在于样品熔融时只和内石英管胶结，降温过程中，内石英管破裂，而外石英管完好，每次换样只更换内石英管，外石英管可以连续使用。配合能移动的熔样炉，可以一次装入二个或多个样品，提高分析效率。实

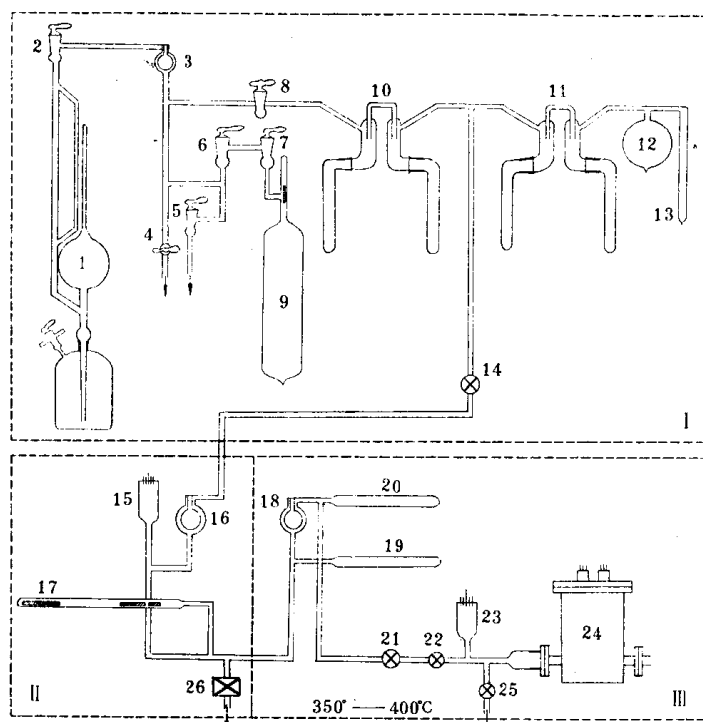


图 1 系统装置示意图

I 分样系统：1—麦氏计；2、4、5、6、7、8—为油脂玻璃活塞；3—冷阱；9—高纯氩；10、11—水银阀气体分量管；12—稀释剂蓄存球；13—稀释剂；14—高真空金属阀；II 熔样系统：15—B-A规管；16—冷阱；17—样品管；26—超高真空金属阀；III 纯化-进样分析系统：18—冷阱；19—CuO；20—海绵钛；21—高真空金属阀；22、25—无油玻璃阀；23—B-A 规管；24—质谱分析室；↓均连通抽气系统

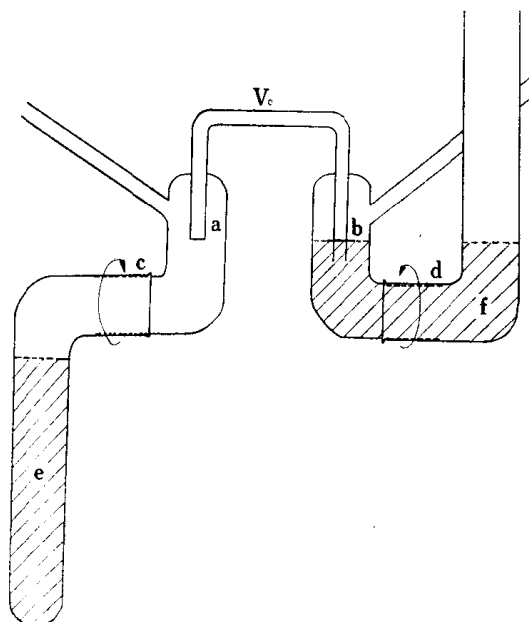


图 2 气体分量管示意图

V_0 体积由水银准确标定，包括从端部 a 到刻线 b 的全部内管体积；c, d 为玻璃磨口；e, f 部分为水银